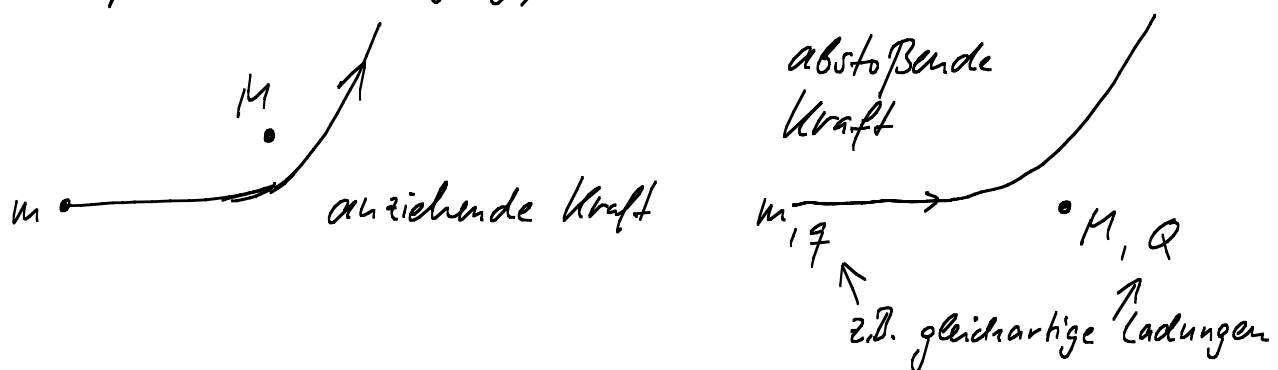


8 Zerfalls- und Stoßprozesse

- wichtig in Chemie, Kernphysik, Teilchenphysik (jeweils mit quantenmech. Aspekten, die hier ignoriert werden).
- in Astrophysik:
 - Vorbeiflug einer Raumsonde an einem Planeten,
 - "Begegnung" zweier Himmelskörper (ohne Kollision)

(Die technischen Mittel zur Behandlung stehen uns seit dem letzten Kapitel zur Verfügung.)

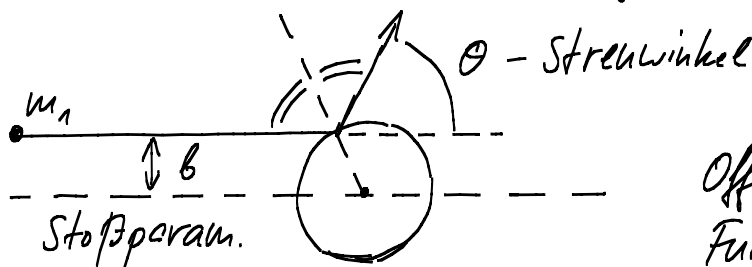


8.1 Stoßparameter und Streuwinkel

(impact parameter)

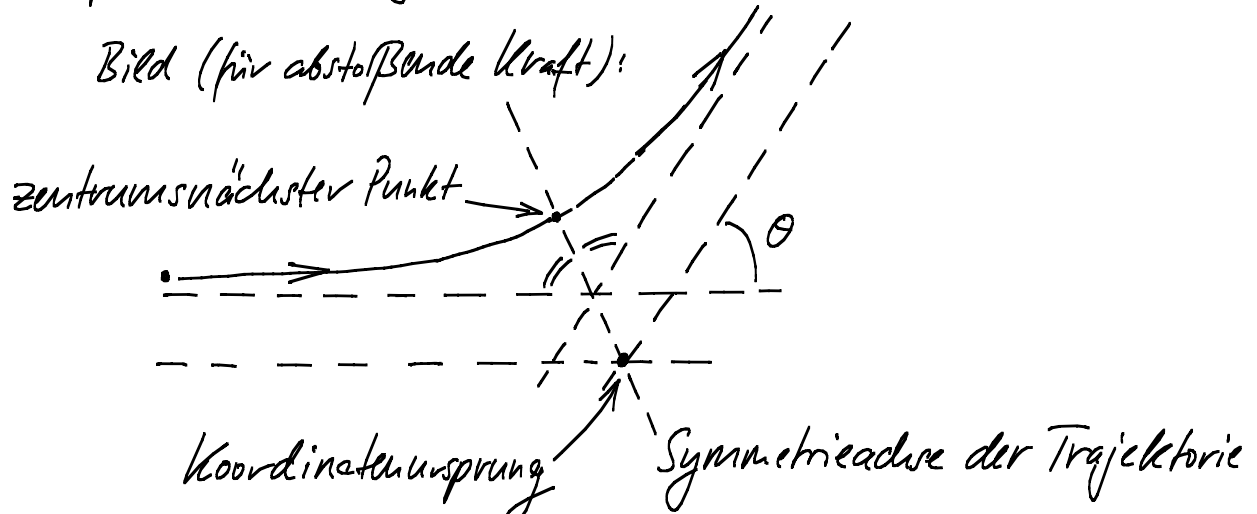
- In vielen einfachen mech. Systemen folgt der Streuwinkel eindeutig aus dem Stoßparameter:

Beispiel 1: Streuung eines Masselpunkts an einer perfekt reflektierenden (unbeweglichen) Kugel:



Offensichtlich läßt sich die Funktion $\theta = \theta(b)$ (bei vorgegebenem Radius R) durch elementare Geometrie ermitteln
 → Übungen.

Beispiel 2: Strenge an zentralpotential $V(r)$



(Obige starre Kugel entspricht dem Fall $V(r) = \begin{cases} 0, & r > R \\ \infty, & r \leq R \end{cases}$)

- Für ein allg. Potenzial (mit $V(r) \xrightarrow{r \rightarrow \infty} 0$) bestimmt sich der Strenwinkel mit Hilfe von

$$\varphi = \int \frac{(L/r^2) dr}{\sqrt{2m(E-V(r)) - L^2/r^2}} \quad (\text{vgl. 7.2}),$$

wobei $E = \frac{mv_\infty^2}{2}$ & $L = mv_\infty b$.

\hookrightarrow Strenparameter

- Integriere über den Bahnbogen von "∞" bis zum zentrumsnächsten Punkt:

$$4\varphi = \int_{r_{\min}}^{\infty} \frac{b dr / r^2}{\sqrt{1 - V(r)/E - b^2/r^2}}$$

- r_{\min} ist die Lösung zu $1 - V(r)/E - b^2/r^2 = 0$.

(= Umkehrpunkt des äquiv. 1-dimensionalen Problems,
= Punkt an dem $dr \neq 0$ obwohl $dr = 0$) $\quad \text{vgl. Kap. 8},$

- Die gesuchte Pkt. $\theta = \theta(b)$ folgt jetzt aus $\theta = \pi - 2\varphi$ (vgl. Skizze).

Beispiel 3: Beispiel 2 mit $V(r) = -\frac{G_N m M}{r}$

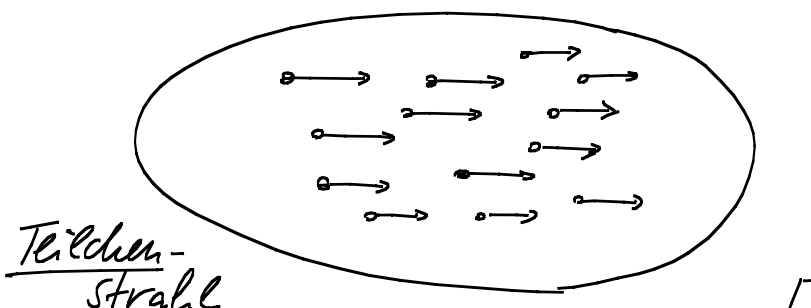
Wir wissen schon: $\theta = 2\varphi - \pi$, $\cos \varphi = -1/e$

$$\text{Also: } \sin \frac{\theta}{2} = \sin(\varphi - \frac{\pi}{2}) = -\sin(\frac{\pi}{2} - \varphi) = -\cos \varphi = \frac{1}{e} = \frac{1}{\sqrt{1 + \frac{2EL^2}{m\omega^2}}}$$

$$\text{mit } L = m v b \quad (v \equiv v_\infty) \quad \& \quad \alpha = m M G_N \quad \& \quad E = \frac{m}{2} v^2$$

$$\Rightarrow \theta(b) = 2 \arcsin \frac{1}{\sqrt{1 + (v^2 b / M G_N)^2}}$$

8.2 Der Wirkungsquerschnitt



Teilchenstrahl



Streuzentrum (fix)

[Dies dient nur zur Vereinfachung; prinzipiell kann und muss reelllich der "Rückstoss" des Targets berücksichtigt werden.]

- Sei homogen & zeitunabhängig
- Geschwindigkeit v für jedes Teilchen gleich

[Dies dient nur zur Vereinfachung; prinzipiell kann und muss reelllich der "Rückstoss" des Targets berücksichtigt werden.]

- charakterisiert durch Teilchenfluss (dichte) oder Teilchenstrahldichte

$$n = \frac{\text{Teilchenzahl}}{\text{Fläche} \cdot \text{Zeit}} \quad \left([n] = \text{m}^{-2} \text{s}^{-1} \right)$$

↑
Senkrecht zum Strahl
stehende gedachte Fläche

zahl der durch diese Fläche hindurchtreffenden Teilchen

- Für ein Target mit Querschnittsfläche σ ergibt sich die Zahl der pro Zeit gestrahlten Teilchen als

$$N = n \cdot \sigma_{\text{tot}} \quad ([N] = \text{s}^{-1})$$

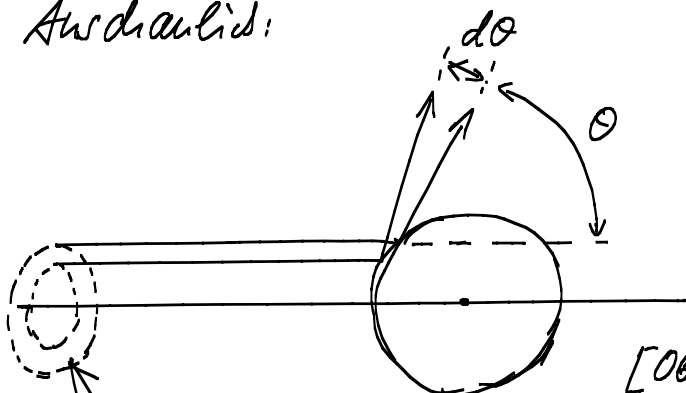
- Allgemeiner: (ohne geometrische Anschauung, die in modernen Anwendungen oft keinen Sinn hat)

Der totale Wirkungsquerschnitt σ_{tot} ist definiert als Proport. faktor zwischen Struvrate N und Strahldichte n :

$$\underline{N = n \cdot \sigma_{\text{tot}}} \quad \text{bzw.} \quad \underline{\sigma_{\text{tot}} = \frac{N}{n}}$$

- Noch allgemeiner: Der differentielle Wirkungsquerschnitt charakterisiert die Rate dN mit der Teilchen in einem kleinen Winkelbereich $d\Omega$ gestaut werden:

Ausdruck:



$$\underline{dN = n \cdot \left(\frac{d\sigma}{d\Omega}(\Omega) \right) \cdot d\Omega}$$

Dies ist nur ein Symbol für den "diff. Wirkungsquerschnitt" (keine Ableitung!).

[Obige Formel definiert die Fkt. $\frac{d\sigma}{d\Omega}(\Omega)$.]

Fläche $d\sigma$, die dem Winkelbereich $d\Omega$ entspricht

- Der diff. Wirkungsquerschnitt ("differential cross section") kann aus der Fkt. $\Omega = \Omega(b)$ berechnet werden:

- Der obige Ring hat die Fläche $2\pi b \cdot |db| = d\sigma$

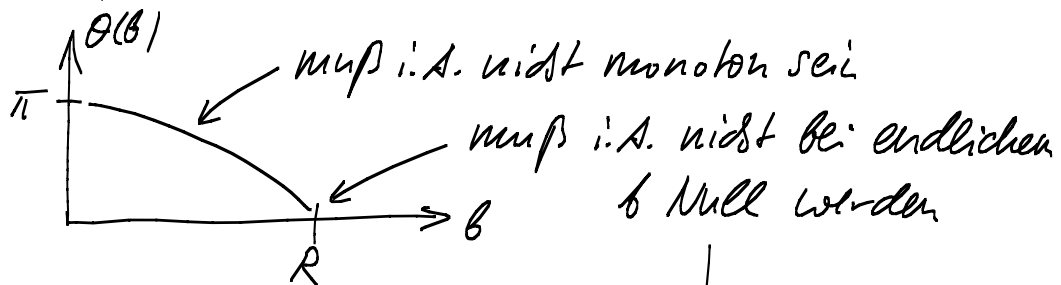
- Der zugehörige Winkelbereich ist $|d\Omega| = \left| \frac{d\Omega(b)}{db} \right| \cdot (db)$

(Wir setzen überall Betragsschilde, um Minuszeichen zu umgehen, die auftreten, da $(d\Omega/db) < 0$.)

- dN folgt jetzt aus der Formel für totale Struvrate, angewandt auf unseren differenziellen Ring:

$$dN = n \cdot d\sigma = n \cdot 2\pi b \cdot |db| = n \cdot 2\pi b \underbrace{\left| \frac{d\Omega}{db} \right|^{-1}}_{= \left(\frac{d\sigma}{d\Omega} \right)} d\Omega \quad (d\Omega > 0)$$

- Zurück zum Beispiel der harten Kugel:



Da dies im Fall der harten Kugel aber geschieht, kann man σ_{tot} besonders einfach berechnen:

$$\sigma_{\text{tot}} = \int_0^\pi d\Omega \left(\frac{d\sigma}{d\Omega} \right) = \int_0^\pi d\Omega 2\pi b \left| \frac{db}{d\Omega} \right| = \int_0^R db \cdot 2\pi b = \pi R^2$$

(wie man erwartet)

(In vielen Fällen wird $\theta(\theta)$ nicht bei endlichem θ Null und σ_{tot} ist nicht definiert; " $\sigma_{\text{tot}} = \infty$ ")

Kommentar:

Man kann eine Fkt. $\sigma(\theta)$ definieren als den:

"minus der Wirkungsquerschnitt für Streuung mit Stauwinkel größer als θ ". Es ist dann $\sigma(\pi) = 0$ & $\sigma(\theta < \pi) < 0$.

Dann kann man unten obige diff. Wirkungsquerschnitt als echte Ableitung auffassen: $\frac{d\sigma}{d\theta} = \frac{d}{d\theta} (\sigma(\theta))$.

Aber dies ist nicht notwendig und nicht üblich.

8.3 Rutherford-Streuung

(Berühmtes Beispiel: Streuung am Coulomb-Feld; völlig analog zum Kepler Problem, aber mit abstoßender oder anziehender Kraft.)

$$V(r) = \frac{\alpha}{r} \quad (\alpha = \frac{q_1 q_2}{4\pi \epsilon_0})$$

Technisch: Kepler-Problem mit $G_{NMM} \rightarrow \alpha$.

$$\sin \frac{\theta}{2} = \frac{1}{\sqrt{1 + (\frac{v^2 \theta}{M_N})^2}} \quad \rightarrow \quad \sin \frac{\theta}{2} = \frac{1}{\sqrt{1 + (\frac{mv^2 \theta}{\alpha})^2}}$$

↑ Vorzeichen irrelev.

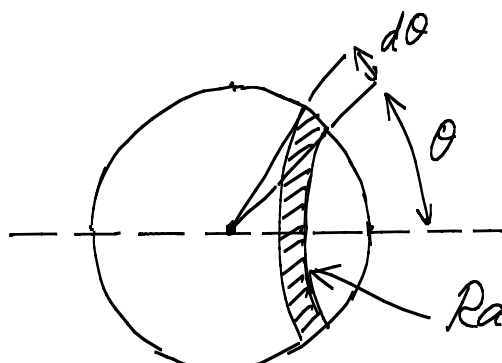
$$\frac{d\sigma}{d\Omega} = 2\pi \delta \left| \frac{d\theta}{d\Omega} \right| = 2\pi \left(\frac{\alpha}{mv^2} \right)^2 \left| x \frac{dx}{d\theta} \right| \quad \text{mit } x = \frac{mv^2 \theta}{\alpha}$$

$$\text{Jetzt: } \sin \theta/2 = \frac{1}{\sqrt{1+x^2}} \Rightarrow x = \frac{\cos \theta/2}{\sin \theta/2}$$

$$\Rightarrow \frac{dx}{d\theta} = -\frac{1/2}{\sin^2 \theta/2} \Rightarrow \left| x \frac{dx}{d\theta} \right| = \frac{\cos \theta/2}{2 \sin^3 \theta/2}$$

$$\frac{d\sigma}{d\Omega} = \pi \left(\frac{\alpha}{mv^2} \right)^2 \frac{\cos \theta/2}{\sin^3 \theta/2}$$

Nuklidische Umschreibung: $d\Omega \rightarrow d\Omega$ ("Raumwinkelelement")



Raumwinkelbereich = Fläche auf Einheitskugel

$$d\Omega = d\theta \cdot 2\pi \sin \theta = d\theta \cdot 4\pi \sin \theta/2 \cos \theta/2$$

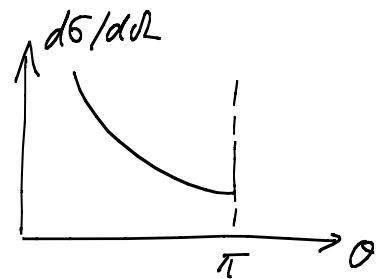
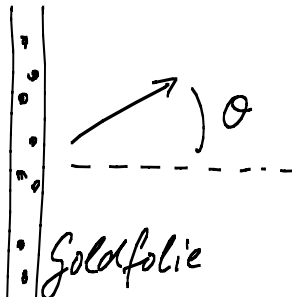
$$\Rightarrow \boxed{\frac{d\sigma}{d\Omega} = \left(\frac{\alpha}{2\pi r^2}\right)^2 \cdot \frac{1}{\sin^4(\theta/2)}} \quad \text{Rutherford - Formel}$$

- äußerst stark konzentriert bei $\theta = 0$:

$$\cdot \sigma_{\text{tot}} = \infty$$

- experimentell :

z.B. α -Teilchen



Beobachtete Winkelverteilung \Rightarrow Atome praktisch "leer", pos. Ladung und gesamte Masse im Atomkern konzentriert, der praktisch punktförmig ist.
(Elektronenhülle wegen kleiner Masse unwichtig.)

[Obwohl prinzipiell gravit. Korrekturen und der Boost ins Schwerph. System hinzukommen, beschreibt obige einfache Rechnung das historische Experiment gut.]

8.4 Teilchenzerfall

(\rightarrow Zerfall instabiler Isotope, $S \rightarrow \pi\pi$, Explosionen ("klassisch"),
 $M, u \longrightarrow m_1, u_1 + m_2, u_2$ aktuell: $H \rightarrow \gamma\gamma; H \rightarrow b\bar{b}$)

Massen \uparrow innere Energie

- Massenerhaltung : $M = m_1 + m_2$ (nicht mehr in SRT!)
- Energierhaltung : $U + \frac{M}{2} \bar{c}^2 = (U_1 + \frac{m_1}{2} \bar{c}_1^2) + (U_2 + \frac{m_2}{2} \bar{c}_2^2)$

- Impulserhaltung: $\bar{p} = \bar{p}_1 + \bar{p}_2$ (mit $\bar{p} = M\bar{v}$ etc.)

O.B.d.A. ruhe M vor dem Zerfall: $\bar{p} = 0$ (bzw. $\bar{v} = 0$)

(Dies kann durch Galilei-Boost nicht erreicht werden.)

$$\Rightarrow \bar{p}_1 + \bar{p}_2 = 0 ; \quad u - u_1 - u_2 = |\Delta u| = \sqrt{\frac{\bar{p}_1^2}{2m_1}} + \sqrt{\frac{\bar{p}_2^2}{2m_2}}$$

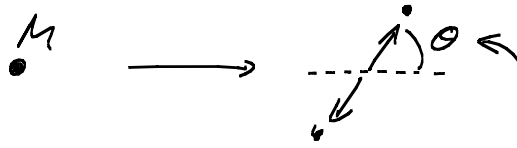
Eliminieren von \bar{p}_2 liefert: $|\Delta u| = \sqrt{\frac{\bar{p}_1^2}{2}} \left(\frac{1}{m_1} + \frac{1}{m_2} \right)$

$$\text{oder } |\bar{p}_1| = |\bar{p}_2| = \sqrt{\frac{2|\Delta u|m_1 m_2}{M}} ; \quad \bar{p}_1 = -\bar{p}_2$$

(auch klar: $|\bar{v}_1|/|\bar{v}_2| = m_2/m_1$)

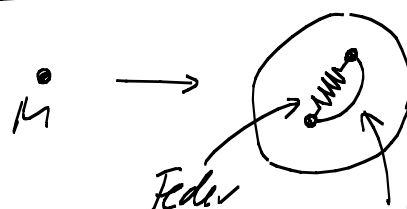
Diese Beschreibung durch Erhaltungsräte bleibt unvollständig:

Die Flugrichtung der Produkte feiert unbekannt.



erfordert ① zusätzliche mikroskop. Information oder
② Annahme einer Wahrscheinlichkeitsverteilung

zu ① z.B.:



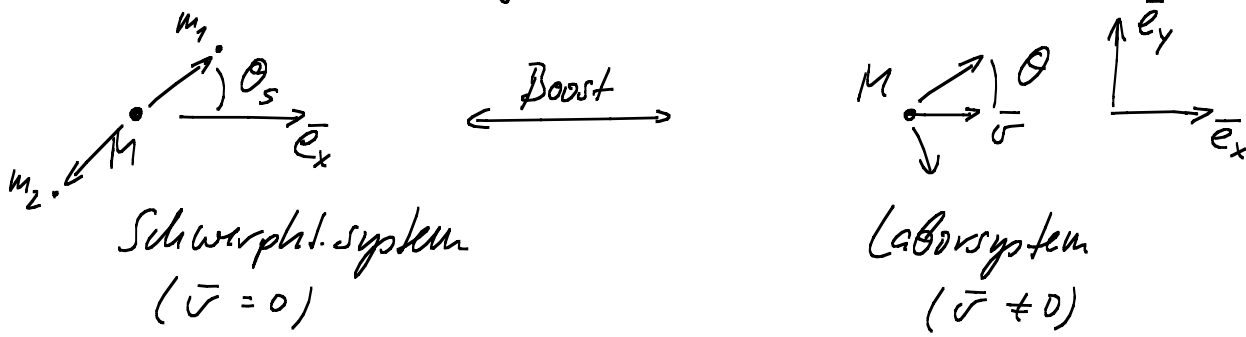
zu durchschneidendem Band

(in "echten" phys. Beispielen spielen oft Spin oder Drehimpuls des zerfallenden Teilchens diese Rolle.)

zu ② z.B.:

- "quantenmechanische" Wahrscheinlichkeit
- Ensemble zufällig "orientierter" Ausgangsteilchen (jede Richtung gleichwahrscheinlich)

Beispielrechnung zum faltbar-Boost



Gegeben u & θ_s , was ist θ ? [$\theta \equiv \theta_L$; den Index "L" unterdrücken wir bei allen Größen.]

Lösung: Wir wissen nod.: $|p_{1,s}| = \sqrt{2|uu|/m_1 m_2 / M}$

$$\bar{p}_{1,s} = |p_{1,s}| (\cos \theta_s, \sin \theta_s)$$

$$\bar{v}_{1,s} = \bar{p}_{1,s} / m_1$$

$$\begin{aligned} \Rightarrow \bar{v}_1 &= \bar{v}_{1,s} + \bar{v} = |\bar{v}_{1,s}| (\cos \theta_s, \sin \theta_s) + |\bar{v}| (1, 0) \\ &= (|\bar{v}_{1,s}| \cos \theta_s + |\bar{v}|, |\bar{v}_{1,s}| \sin \theta_s) \end{aligned}$$

$$\Rightarrow \tan \theta = \frac{|\bar{v}_{1,s}| \sin \theta_s}{|\bar{v}_{1,s}| \cos \theta_s + |\bar{v}|} \quad (\text{Nach belieben Ausgangswerten einsetzen und vereinfachen ...})$$

Kommentar: Beim Zerfall in mehr als 3 Teilchen (z.B. $M \rightarrow m_1, m_2, m_3$) genügen die Erhaltungssätze i.A. nicht mehr, um die Geschwindigkeiten der Zerfallsprodukte zu bestimmen. Man muss sich dann i.A. mit einer Geschwindigkeitsverteilung zufriedengeben. (z.B. $n \rightarrow p e^- \bar{\nu}_e$)

8.5 Elastischer Stoß

- allgemeiner Stoß: $m_1, u_1 \rightarrow m'_1, u'_1$
("2 \rightarrow 2 Streuung") $m_2, u_2 \rightarrow m'_2, u'_2$
- Kein Massenaustausch $\rightarrow m'_{1,2} = m_{1,2}$
- elastisch $\rightarrow u = u'$ (mit $u = u_1 + u_2$ & $u' = u'_1 + u'_2$)

Also: $\bar{p}_1 + \bar{p}_2 = \bar{p}'_1 + \bar{p}'_2$

$$\frac{\bar{p}_1^2}{2m_1} + \frac{\bar{p}_2^2}{2m_2} = \frac{\bar{p}'_1^2}{2m_1} + \frac{\bar{p}'_2^2}{2m_2}$$

Eine mögliche prinzipielle Vorgehensweise: (zur Bestimmung von

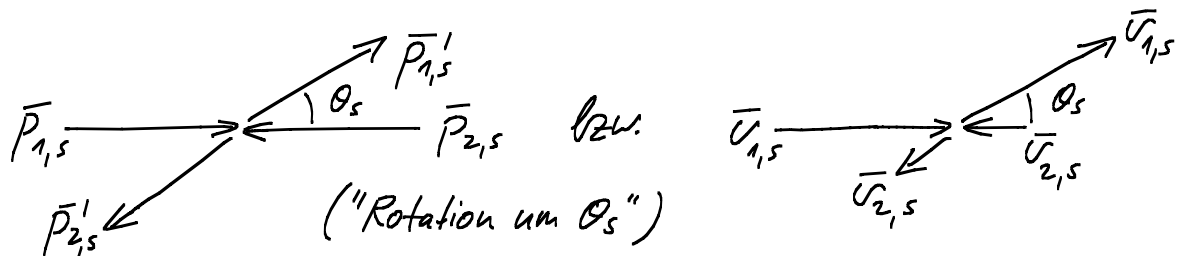
- Gebe ins Schwerpunktsystem S: $\bar{p}'_{1,2}$ bei gegebenem $\bar{p}_{1,2}$)

$$\bar{p}_{1,s} + \bar{p}_{2,s} = \bar{p}_s = 0$$

- Man denke sich einen sich einer zwischenzeitlich entstandenen Zustand ("instabiles Teilchen") mit $\bar{p}_s = 0$, welches unter Freisetzung eines Energieüberschusses zerfällt (vgl. 9.1). $|\Delta\tilde{u}| = \frac{\bar{p}_{1,s}^2}{2m_1} + \frac{\bar{p}_{2,s}^2}{2m_2}$

- Wie oben: $\bar{p}'_{1,s} = -\bar{p}'_{2,s}$
 $|\bar{p}'_{1,s}| = |\bar{p}'_{2,s}| = \sqrt{2|\Delta\tilde{u}| m_1 m_2 / M} (= |\bar{p}_{1,s}| = |\bar{p}_{2,s}|)$

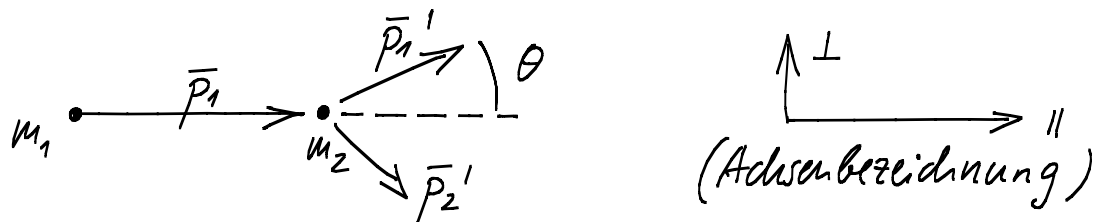
$\Rightarrow \bar{p}_{1,s} \rightarrow \bar{p}'_{1,s}$ & $\bar{p}_{2,s} \rightarrow \bar{p}'_{2,s}$ entspricht (in S!) nur einer Drehung (keine Betragsänderung!):



- Der Wert von θ_s muß als zusätzliche Information vorgegeben werden.
- Die so gefundenen Impulse $\bar{p}_{1,s}', \bar{p}_{2,s}'$ können, falls gewünscht, wieder in das (i. A. von S verschiedene) Laborsystem L übersetzt werden; $\rightarrow \bar{p}_{1,L}', \bar{p}_{2,L}'$.

8.6 Elastischer Stoß am ruhenden Target

Labor: Projektil: $m_1, \bar{p}_1 \neq 0$; Target: $m_2, \bar{p}_2 = 0$



\bar{p}_1 und θ seien gegeben und wir fragen nach $|\bar{p}_1'|$

a) Analyse durch Übergang zu S [Unsere Notation: Index "S" für Schwerpunktsystem; kein Index heißt "L"]

$$0 = \bar{p}_S = \bar{p}_{1,S} + \bar{p}_{2,S} = (\bar{p}_1 - m_1 \bar{v}) + (0 - m_2 \bar{v})$$

Dies definiert S!

$$\Rightarrow \bar{v} = \bar{p}_1 / M \quad (M = m_1 + m_2)$$

$$\Rightarrow \bar{p}_{1,S} = -\bar{p}_{2,S} = \frac{m_2}{M} \cdot \bar{p}_1$$

- $\bar{p}_{1,S}'$ & $\bar{p}_{2,S}'$ ergeben sich jetzt durch Drehung um θ_s ; danach Rücktransformation nach L.
- Damit haben wir $|\bar{p}_1'|$ & θ als Fkt.-en von θ_s ; Eliminieren von θ_s gibt $|\bar{p}_1'|$ als Fkt. von θ .

b) Analyse direkt in L

- Energieerhaltung: (zur Vereinfachung sei $p_1 = |\vec{p}_1|$ etc.)

$$p_1^2/2m_1 = p_1'^2/2m_1 + p_2'^2/2m_2$$

$$\Rightarrow p_2'^2 = \frac{m_2}{m_1} (p_1^2 - p_1'^2)$$

- Impulserhaltung: $\vec{p}_1 = \vec{p}_1' + \vec{p}_2' \leftarrow \begin{matrix} \text{(Deshalb alles in einer} \\ \text{Ebene!)} \end{matrix}$

$$\Rightarrow p_{1,\parallel} = p_{1,\parallel}' + p_{2,\parallel} ; \quad p_{1,\perp} = -p_{2,\perp}$$

Daraus ergibt sich

$$p_1 = p_{1,\parallel} = p_1' \cos \theta + \sqrt{(p_2')^2 - (p_{1,\perp})^2}$$

$$p_1 = p_1' \cos \theta + \sqrt{(p_2')^2 - (p_{1,\perp})^2} \quad \text{aus Energieerhaltung}$$

$$= p_1' \cos \theta + \sqrt{\frac{m_2}{m_1} (p_1^2 - p_1'^2) - (p_1')^2 \sin^2 \theta}$$

Zuletzt: So umformen, daß Wurzel rechts allein steht;
beide Seiten quadrieren; nach p_1' auflösen

$$\Rightarrow p_1' = p_1 \frac{m_1 \cos \theta \pm \sqrt{m_2^2 - m_1^2 \sin^2 \theta}}{M}$$

& analog für v_1', v_1 ; vgl. auch die schöne graphische Interpretation in vielen Büchern, z.B. Landau/Lifschitz.

- Falls beide Wurzeln nicht-negativ, gibt es wirklich zwei mögliche p_1' bei gleichem θ !
- Um dies besser zu verstehen, analysiere man den besonders einfachen Fall $\theta = 0$, $m_1 > m_2$:

\Rightarrow Lösung 1: $p_1' = p_1$ - kein echter Stoß

Lösung 2: $p_1' = p_1 \frac{m_1 - m_2}{m_1 + m_2}$ - maximaler Energieübergang (vollst. bei $m_1 = m_2$) - wie bei zentralem Stoß beim Billiard.

- In weniger trivialen Fällen ($\Theta \neq 0$) ist die Situation analog: Ein fest vorgegebenes Θ kann durch einen "starken" oder einen "schwachen" Stoß realisiert werden.
- Falls eine der Wurzeln neg. ist, gibt es wirklich nur ein phys. mögliches p_1' zum gegebenen Θ .